

PRA의 성능비교 및 운동 보상형 보간 알고리듬을

이용한 동영상 감축에 관한 연구

○ 오진성* 한영오* 조병걸* 이용천** 박상희*

연세대학교 전기공학과*, 한국전기통신공사 연수원**

Performance Comparison of Pel Recursive Algorithm and
Dynamic Image Compression using Motion Compensating Interpolation Algorithm

J.S. Oh* Y.O. Han* B.G. Cho* Y.C. Rhee** S.H. Park*

Yonsei Univ. Electrical Eng.* , KTA**

Abstract

In this study, the motion compensating interpolation algorithm is presented. The presented algorithm allows the unblurred reconstruction of omitted frames. It is shown that the Walker & Rao's estimation algorithm using modified displaced frame difference combined with rectangular adaptive measurement window increases the reliability of the estimation results. The remarkably improved image quality is achieved by change detection and segmentation.

I. 서 론

CCITT study Group XV는 현재 384 kbit/s 금의 전송율을 갖는 codec에 관한 표준화 작업이 진행되고 있다. 이것은 ISDN에 영상회의 서비스를 이용하기 위한 것이다. 따라서 동영상은 전송하는데 있어서 데이터 감축을 위하여 프레임 subsampling을 수행하는 것이 필요하다. 즉 전송단에서 전송하지 않는 영상을 수신단에서 복원하기 위하여 보간(interpolation)을 사용해야 하는데 이는 이미 소실된 데이터를 만들어내는 것으로 완전한 재생은 불가능하므로 가능한 한 효과적인 방법을 사용해야 한다. 일반적인 보간 알고리듬으로는 프레임 반복(frame repetition), 선형 프레임 보간(linear frame interpolation), 운동적응 프레임 보간(motion adaptive frame interpolation)이 있다. 그러나 위의 방식들은 temporal 방향으로 큰 움직임이 있는 영상에서는 보간 오차를 발생시켜 jerky 현상 및 물체의 이지부분이 흐려지는 blurring 현상이 발생하여 시작적 축면에서 커다란 문제점으로 대두된다. 그러나 운동보상형 보간(Motion Compensating Interpolation) 알고리듬은 이러한 문제점을 최소화해준다. 이에 대한 연구는 1981년 Neravali & Robbins과 Bergmann에 의해 이루어졌다. 특히 Bergmann이 지적하였듯이 운동보상형 보간 방식에서는 해결되어야 할 문제점으로 첫째 각 화소마다 좀더 정확한 추정을 할 수 있는 개선된 운동 추정 알고리듬의 개발이며, 둘째는 운동 물체, 현재 프레임에서 uncover 된 영역, 다음 프레임에서 cover된 영역들을 분리하여 segmentation하는 문제이고 마지막으로는 적당한 보간 필터를 위한 알고리듬이다. 따라서 본 연구에서는 위의 언급된 문제점을 개선할 수 있는 운동 보상형 보간(MCI) 알고리듬을 제안하였다. 이 제안된 MCI의 구조는 크게 운동 추정자, 변화 판별자 및 segmentation과 운동 보간 필터로 구분된다. 운동 추정은 기존의 PRA의 성능을 비교 분석하여 최적의 PRA를 선택 적용하였다. 그리고 비교적 큰 운동에 대해 보다 정확한 추정을 위한 사분면 적응 추정 (adaptive measurement) window를 결합하여 개선된 운동 추정 알고리듬을 사용하였다. 변화 판별자는 영상을 변화 영역과 경지 배경 영역으로 나누며 변화 영역은 다시 cover 될 배경 영역 및 uncover 된 배경 영역으로 나눈다. 운동 보상

보간필터는 운동에 관한 정보와 영역에 관한 정보를 바탕으로 생략된 프레임의 각 화소에 대하여 보간한다.

2. Pel Recursive Algorithm의 고찰 및 성능비교**2.1 PRA의 개요**

PRA(Pel Recursive Algorithm; PRA)는 화소 단위로 반복적으로 운동을 추정하는 것으로 1978년 A.N. Netravali & J.D. Robbins에 의하여 처음 제안되었다. PRA는 먼저 영상에서 이동불체가 존재한다고 판단되는 영역을 추출한 후 이 영역에 속해 있는 화소들에 움직임을 추정하는 것이다.

$$D_{i+1} = D_i + U_i$$

여기서 D_i 는 이전의 예측초기치이고 U_i 는 현재 화소의 운동 벡터인 D_{i+1} 를 실제의 운동 벡터에 수렴시키기 위하여 더해지는 항(update term)이다. 즉 PRA는 추정된 운동 벡터를 사용하여 움직임 영역 안에서 운동 보상된 예측오차가 최소가 되도록 회귀적(recursive)으로 운동 벡터를 계산한다. 이때 D_{i+1} 를 추정하는데 사용하는 DFD(displaced frame difference) 함수는 다음과 같다.

$$DFD(x, y, D_i) = Sk(x, y) - Sk_{i-1}(x-dx, y-dy)$$

여기서 $S_k(x, y)$ 는 k 번째 프레임에서 (x, y) 위치에 있는 화소의 밝기이다. Netravali & Robbins은 제안한 알고리듬은 움직임 영역 안에서 $|DFD(x, y, D_i)|^2$ $|DFD(x, y, D_{i-1})|^2$ 가 되도록 steepest descent 알고리듬을 이용하여 각 화소간에 반복적으로 $|DFD(x, y, D_i)|^2$ 을 최소화시키는 운동 벡터를 구하였다.

$$\begin{aligned} D_{i+1} &= D_i - \frac{1}{2} e \nabla D_i |DFD(x, y, D_i)|^2 \\ &= D_i - e DFD(x, y, D_i) \nabla s_{k-1}(x-dx, y-dy) \end{aligned}$$

여기서 ∇D_i 는 DFD의 D_i 에 대한 기울기이며 e 는 양의 스칼라 상수로서 수렴 속도를 결정한다 ($e = 1/1024$). PRA방식에 의한 예측은 실제의 운동 벡터에 얼마나 빨리 수렴되는 나에 따라 발생되는 전체 예측오차에 커다란 영향을 미친다. 따라서 정확한 운동으로 수렴하기 위해 더해지는 항을 효율적으로 구해야 한다. 영상의 국부 통계(local statistics)를 이용하여 고정된 e 를 변수로 대치함으로써 더 정확한 운동 추정자를 만들 수 있다. 그리하여 1982년 Cafforio & Rocca는 다음과 같은 알고리듬을 제시하였다.

$$D_{i+1} = D_i - \frac{DFD(x, y, D_i) \nabla s_{k-1}(x-dx, y-dy)}{| \nabla s_{k-1}(x-dx, y-dy) |^2 + u^2}$$

여기서 $u^2 = 100$ 으로 놓았으며, u^2 은 일정한 intensity 영역에서 ∇s_{k-1} 의 값이 아주 작게 되어 발산하는

경우를 방지하기 위하여 필요하다. 1984년에는 Bergmann이 두개의 2차 미분의 평균을 더해지는 항의 분모가 되는 알고리듬을 제시하였다.

$$D_{i+1} = D_i - \frac{DFD(x, y, D_i) \nabla s_k(x-dx, y-dy)}{1/2 |\nabla s_k(x-dx, y-dy) + \nabla s_k(x, y)| |\nabla s_k(x, y)|}$$

한편 Walker & Rao도 다음과 같은 알고리듬을 제시하였다.

$$D_{i+1} = D_i - \frac{DFD(x, y, D_i) \nabla s_k(x-dx, y-dy)}{2 |\nabla s_k(x-dx, y-dy)|^2}$$

2.2 각 PRA의 성능비교

위의 대표적인 4개의 PRA 알고리듬을 가지고 성능비교를 하였다. 성능비교를 위한 시뮬레이션은 프레임과 프레임간의 운동에 대해 적용하였으며, 시험(test)영상은 두 종류의 16개 프레임 영상 ELL101-ELL116과 SUSI101-SUSI116에 대해 적용하였다. 여기서 움직임 추정은 주사방향의 각 주사라인에 따라 하였으며, 운동추정 초기치 D_{i-1} 는 동일프레임내에서 같은 라인 좌측 화소에서의 운동벡터를 선택하였다.

(1) 운동 추정 정확도

각 알고리듬이 얼마나 정확하게 운동을 예측하는가는 움직임 전화소에 대하여 예측하지 못한 화소의 빼분율로서 알 수 있다. 성능비교를 위하여 다음과 같은 전제조건 하에서 실험하였다.

- 프레임간 영상신호의 밝기차 즉 FD(frame difference)가 기준치 6 이상인 화소에 대해 이동영역으로 판단 $|FD(x, y)| = |SK(x, y) - SK-1(x, y)| > 6$
- Bergmann과 Walker & Rao의 알고리듬에서 $\nabla s=0$ 일땐 update term=0, |update term| < 1/16 일땐 ±1/16 으로 |update term| > 2 일땐 ±2로 할당
- 화소당 반복(iteration) 회수는 최대 40이며, 이 반복 기간중 수렴하지 못하면 운동벡터는 0 으로 reset. 이때 수렴기준은 $|DFD(x, y, D_i)| \leq 3$
- 운동 벡터는 프레임당 최대 ±7 pixels 과 ±4 line 으로 제한

그림 2-1과 그림 2-2는 ELL101-ELL116와 SUSI101-SUSI116에 대한 예측하지 못한 화소의 빼분율을 나타낸다. 그림 2-1 및 2-2에서 보듯이 Walker & Rao가 제시한 알고리듬이 가장 우수하며, Bergmann과 Cafforio & Rocca가 제시한 알고리듬은 거의 비슷함을 알 수 있다.

(2) 운동 추정 수렴속도

일반적으로 최소한의 반복회수에서 수렴하여 운동벡터를 추정하는 알고리듬일수록 우수하다. 최대반복회수를 5로하고 위와 같은 조건으로 실험한 결과는 그림 2-3과 그림 2-4와 같다. 여기서는 예측 가능한 화소의 빼분율로 하였다. 그림 2-3 및 2-4에서 보듯이 Walker & Rao가 제시한 알고리듬이 가장 우수하며, Bergmann의 알고리듬도 빠른 수렴속도를 갖는 것을 알 수 있다.

이상의 실험결과 Walker & Rao가 제시한 알고리듬이 정확한 운동추정을 할 뿐 아니라 수렴속도 매우 빠르다는 것을 알 수 있다.

3. 운동 보상형 보간자

운동 보상형 보간자의 구조는 그림 3-1에서 보듯이 크게 운동 추정자, 변화 판별자와 운동보상 보간필터로 나누어 진다. 보간 알고리듬에서는 영상의

모델을 영상 평면(image plane)상에서 위치한 밝기가 변하지 않는 물체라고 가정한다. 여기서 운동추정자는 주어진 두개의 프레임에서 보간될 각화소에 대한 운동벡터를 계산한다. 변화 판별자는 영상을 변화영역(CA)과 경지배경영역(SB)로 구분 하며 또한 segmentation 알고리듬을 이용하여 변화영역 중 UB(Uncovered Background)와 CB(Covered Background)을 분리해낸다. 운동보상 보간필터는 일종의 시공간(spatio-temporal) 필터이다.

3.1 운동 추정자

운동 추정은 Walker & Rao가 제시한 PRA 알고리듬을 사용하고, 운동추정은 영상을 M 라인 × N 화소의 블록으로 나눈 후 이 블록안에서만 계산한다. 이 방식은 새로이 들어나는 배경 즉 UB와 예지로 인하여 발생하는 빌산이나 부정확한 운동추정을 단지 그 블록안으로만 제한시킨다. 일반적으로 운동 추정의 신뢰성을 증명 window의 크기에 따라 의존하며, 비교적 큰 운동에는 큰 window가 필요하다. 그러나 비교적 큰 운동에 대한 보다 정확한 추정과 다른 영역으로 수렴해 가는 것을 방지하기 위하여 다음과 같은 사분면 적응축정 window를 사용한 수정된 MDFD(Modified DFD)를 사용한다.

$$MDFD = -\sum_{W} \sum_{K, I} [SK(x+k, y+l) - SK-1(x+k-dxi, y+l-dyi)]$$

여기서 W는 window 크기

여기서 window 크기는 운동 추정 반복회수에 증감함에 따라 단계적으로 감소시킨다. 즉, 처음에는 window의 크기는 크게 잡고 운동벡터가 수렴해감에 따라 window의 크기를 감소시키면서 수렴판단을 한다. 그리하여 새로운 수렴기준은 DFD 와 이 MDFD 을 결합하여 이용한다.

```
if |DFD| ≤ T1 and |MDFD| ≤ T2,
    then  $D_{i+1}$  is true displacement vector
else estimate next displacement vector
```

Walker & Rao의 알고리듬으로 운동물체에 대하여 운동벡터 $D(dx, dy)$ 를 추정한 후 운동보상 보간을 한다. 한 예로 전송된 K-2 번째 프레임과 K 번째 프레임의 운동벡터 (dx, dy) 를 구한 후에 생략된 K-1 번째 프레임의 $(x+dx/2, y+dy/2)$ 위치에 K-2 번째 프레임의 (x, y) 화소와 K 번째 프레임의 $(x+dx, y+dy)$ 화소값을 이용하여 보간한다.

3.2 변화 판별자

변화 판별자 및 segmentation은 보간될 전후의 프레임을 이용하여 운동에 관한 정보를 얻는 과정으로서 본 연구에서는 Gerhard과 Thomas가 제안한 알고리듬을 이용한다. 우선 변화 판별자로 연속화수 두 프레임에 대하여 CA와 SB를 구분한다. 그리고 전송된 연속 3 프레임을 이용하여 생략된 프레임의 CA 내의 UB와 CB를 다시 구분한다. 변화 판별자 및 segmentation 알고리듬의 블록은 그림 3-2와 같다. 그림 3-2에서 보듯이 프레임 K-2, 프레임 K, 프레임 K+2 를 이용하여 프레임 K에 대한 운동정보를 얻는다. 여기서 문턱치 T1과 T2의 선택은 잡음과 무관하도록 적절히 선택하여야 한다. 또한 그림에서 보듯이 CA와 SB의 2진마스크를 얻기 위하여 단일의 미지수는 제거하고, 정칙(nonsingular)한 미지수는 CA으로 재할당한다. Gerhard는 이전 영상을 얻기 위하여 차영상(FD)에 대하여 region growing을 이용하였으나 여기서는 3x3 매디안 필터로 대체하였다. 이와 같은 operation을 통해서 얻은 운동에 대한 정보를 이용하여 보간될 프레임 K-1의 운동에 대한 정보를 얻기 위해 그림 3-3과 같이 프레임 K의 CA에 대한 운동벡터를 찾은 다음 $-dx/2, -dy/2$ 만큼 운동영역을 이동할 경우 프레임 K-1에서의 운동에 대한 정보를 얻을 수 있다. 즉 segmentation 알고리듬의

출현인 *decovered* 영역 및 운동물체와 변화 판별자의
출현인 변화 영역을 논리AND을 하여 프레임 K-1의
UB와 CB 영역을 구한다.

3.3 운동보상 보간 필터

운동 보상 필터는 정지 배경 영역에서는 선형 적으로
보간하고 변화 영역에 대해서는 추정된 운동 봄터를
이용하여 보간 한다. 만약 이 CA에서의 운동 추정이
수렴하지 않으면 이 영역이 다시 Uncovered 영역
인가. Covered 영역인가 혹은 그렇지 않은가를 판단
하여 UB에서는 extrapolation 를 행하고 CB에서는
interpolation 을, 둘다 아닌 경우에는 보간될 프레임
k-1의 주변화소로서 보간 한다. 일반적으로 운동 백터
추정이 수렴하지 않은 경우는 화소가 UB 나 CB
영역에 있는 것으로 판단되므로 이 보간 절차를 일일
이용함으로써 오차를 줄이게 되어 영상의 대출
수 있게 된다. 다음 표 3-1은 각각의 경우에 대한 출
의 프레임 subsampling 일 때의 보간기 봄터는
나타내고 있다. 일반적으로 추정된 운동 백터는
화소의 정수배로 나타나지 않기 때문에 2 차원
선형 보간을 이용하지만 여기서는 가장 가까운 경수
치로 극시화 시켰다.

표 3-1 보간 필터의 축면

영역 구분	운동 빼기	보간기 출력 $Sk-1(x, y)$
면화 영역 (CA)	수평	$1/2Sk - 2(x - l dx/2), y - l dy/2) + 1/2Sk(x + l dx/2), y + l dy/2)$
	비 수평	
세부 영역	UB CB otherwise	$Sk(x, y)$ $Sk(2x, y)$ $Sk-1(x, y) \cdot 2 + Sk-1(x-1, y-1)/8$ $+ Sk-1(x-1, y)/4 + Sk-1(x-1, y+1)/8$
경지 배경	x	$1/2 Sk-2(x, y) + 1/2 Sk(x, y)$

여기서 () 는 가장 가까운 정수

4. 실험 및 결과고찰

실험에 사용한 동영상을 128X192의 크기와 256의
계조도를 갖는 두종류의 16프레임 영상 ELL101-ELL116
과 SUS101-SUS116이다. 변화 판별 및 segmentation
예선 사용한 문턱치 값을 즉 $T_1 = 5$, $T_2 = 8$, $T_3 = 7$
으로 활동하였으며 메디안 필터는 3X3의 블록 영상을
사용하였다. 운동 추정자에서는 입력 프레임을
16X8의 블록으로 나눈 후 이 블록 안에서 운동 추정정을
하였으며 이 때 사용한 운동 백터의 수를 기준은 DFD
2와 |MDFD| 4이다. 또한 한 윈도우 동백터 주변 영
역을 위한 반복회수는 10으로 하였고 사본면
window의 크기는 7X7으로 하였다. 반복회수가
증가함에 따라 2 스텝마다 점차적으로 차는
크기를 줄였다. 그리고 운동 백터는 프레임 당 최대
5.0 pels 및 8 line으로 제한하였다. 다른 프레임은
알고리듬과의 성능 비교를 위해 여기서 보간
보간을 이용하였으며 실현 결과 같다. 그림 4-1
그림 4-1, 그림 4-2 와 그림 4-3과 같다.
2:1 비율의 subsampling 가정 하에 빙생 생략
프레임을 운동 보간 알고리듬을 이용하여 재구성
한 것이다. 그림 4-2는 4:1 비율을 그림 4-1
비율의 subsampling 또는 전송으로 인한 생략된
프레임 중 중간 프레임을 재구성한 것이다. 그림
보듯이 제시된 운동 보간 보간은 알고리듬과
프레임 보간 알고리듬의 문제점인 blurring
jerkiness를 제거해 주었다. 또한 각각 재구성
영상에서 운동 추정 정을 예측하지 않은
나타내 표 5-1에서 보듯이 비교적 운동
분석을 위한

표 4-1 예측 못한 화소의 백분율

Subsampling 비	대상 영상	辈분율 (%)
2 : 1	ELL110-112	8.28
4 : 1	ELL108-112	10.00
8 : 1	SUS101-109	8.29

경우에도 운동 추정이 정확함을 알 수 있었다. 또한 subsampling의 비율이 큰 경우에도 제안한 운동 보상 보간 알고리듬의 성능이 좋음을 알 수 있었다.

5. 異

본 연구에서는 영상 전화나 영상회의에 이용 가능 한 운동 보상형 프레임 보간 알고리듬을 제안하였다. 제안된 알고리듬은 선형 보간이나 프레임 반복에서 발생하는 blurring과 jerkiness 같은 시각적인 발현상을 제거할 수 있었다. 또한 Walker & Rao의 PRA에 사용되는 window를 결합함으로써 MDFD를 사용하여 영상을 부블록(16×8)으로 유통 주정을 함으로써 부정착화한 운동 주정으로 유통 주정을 할 수 있었다. 예측하지 않으나 차를 그 블록안으로 제한 시킬 수 있었고 segmentation 소스들에 대하여서는 변환판별 및 보간함으로써 알고리듬을 이용하여 영역 정보를 얻을 수 있었다.

참 고 문 헌

1. A.N. Netravali and J.D. Robbins, "Motion compensated television coding - Part I", Bell Syst. Tech. J., vol.58, pp.631-670, Mar. 1979
 2. C. Cafforio and F. Rocca, "The differential method for image estimation," in Image Sequence Processing and Dynamic Scene Analysis, T.S. Huang, Ed. Berlin, Germany: Springer-Verlag, 1983, pp104-124
 3. H.G. Musmann, P. Pirsch, and H.-J. Grallet, "Advances in Picture Coding", Proc. of the IEEE, vol. 73, pp.523-548, Apr. 1985
 4. D.R. Walker and K.R. Rao, "Improved pel recursive motion compensation," IEEE Trans. Commun., vol. COM-32, pp.1128-1134 Oct. 1984
 5. S. Sabri, "Movement-compensated interframe prediction for NTSC colour TV signal", in Image Sequence Processing and Dynamic Scene Analysis, T.S. Huang, Ed. Berlin, Germany: Springer-Verlag, 1983, pp156-199
 6. E. Girod and R. Thoma, "Motion-compensating field interpolation from interlaced and non-interlaced grids", 2nd Internat. Tech. Symp. on Optical and Electro-Optical Applied Science and Eng., Cannes, Dec. 1985
 7. M. Bierling and R. Thoma, "Motion compensating field interpolation using a hierarchically structured displacement estimator", Signal Processing, vol.11, No. 4, pp.387-404, Dec. 1985

(I: Netravali & Robbins, II: Cafferio & Rocca
 III: Bergmann, IV: Walker & Rao's Algorithm)

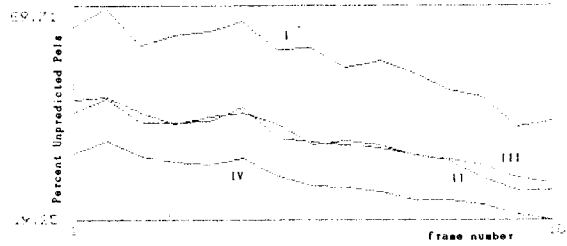


그림 2-1 각 알고리듬에 대한 예측못한 화소의 백분율
 (ELL101-ELL116)

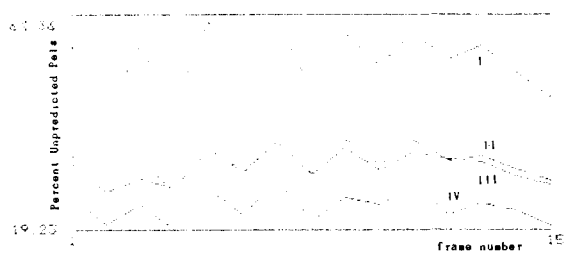


그림 2-2 각 알고리듬에 대한 예측못한 화소의 백분율
 (SUS101-SUS116)

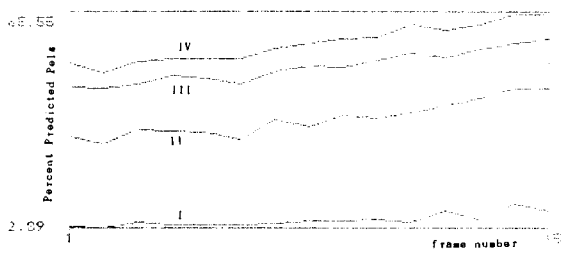


그림 2-3 각 알고리듬에 대한 예측한 화소의 백분율
 (ELL101-ELL116)

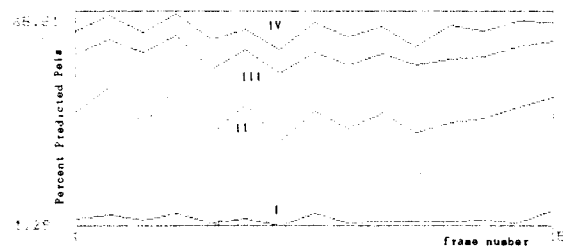


그림 2-4 각 알고리듬에 대한 예측한 화소의 백분율
 (SUS101-SUS116)

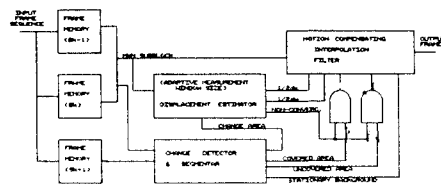


그림 3-1 운동 보상형 보간자

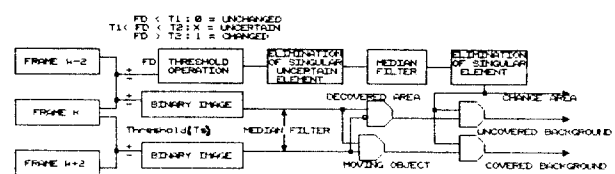


그림 3-2 프레임 k번 째의 운동에 관한 정보를 얻기 위한
 segmentation 및 변화 판별

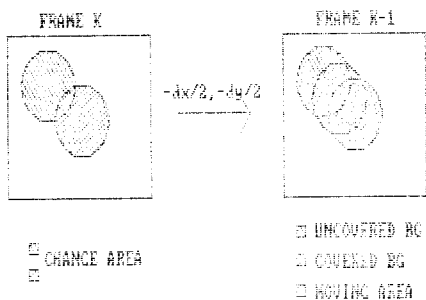


그림 3-3 프레임 k-1번 째의 운동에 대한 정보



그림 4-1 2:1의 subsampling한 후 보간한 영상

- (a) 선형프레임보간의 결과
- (b) 제안한 운동보상형 보간 알고리듬의 결과

그림 4-3 8:1의 subsampling한 후 보간한 영상

- (a) 선형프레임보간의 결과
- (b) 제안한 운동보상형 보간 알고리듬의 결과



그림 4-2 4:1의 subsampling한 후 보간한 영상

- (a) 선형프레임보간의 결과
- (b) 제안한 운동보상형 보간 알고리듬의 결과